

بررسی ساختار گیاه یونجه و سنجش مディکارپین در مراحل مختلف تکوین

فاطمه زرین کمر* و نسترن اسدی

تهران، دانشگاه تربیت مدرس، دانشکده علوم زیستی، گروه علوم گیاهی

تاریخ پذیرش: ۹۵/۱۲/۲۷ تاریخ دریافت: ۹۳/۱۰/۹

چکیده

یونجه با نام علمی *Medicago sativa L.* از خانواده باقلاییان، گیاهی است پایا و علوفه‌ای، این گونه دارای ترکیبات متعدد فلافونوئیدی است. یکی از مهمترین این ترکیبات در گیاه یونجه، ایزوافلاونوئید م迪کارپین است که این ایزوافلاونوئید باعث فعال شدن ژنهای ریزوبیومی دخیل در فرایند تشکیل گرهگ می‌شود. در این پژوهش میزان فعالیت آنزیم فنیل آلانین آمونیالیاز (PAL) در مراحل مختلف تکوین گیاه در سه تکرار شامل مراحل جوانهزنی، رویشی و زایشی با استفاده از دستگاه اسپکتروفوتومتر و غلظت م迪کارپین توسط کروماتوگرافی مایع با کارابی بالا (HPLC) اندازه‌گیری شد. همچنین ساختار تشریحی – تکوین اندام‌های رویشی یونجه در مراحل مختلف نمو توسط میکروسکوپ نوری مورد مطالعه قرار گرفت. نتایج نشان داد که میزان فعالیت آنزیم PAL در طی رشد رویشی و زایشی متغیر بوده، همچنین میزان غلظت م迪کارپین نیز در مراحل مختلف تکوین تفاوت داشت. نتایج این مطالعه به خوبی نشان داد که فعالیت آنزیم PAL با میزان غلظت م迪کارپین رابطه مستقیم دارد. به طوری که بیشترین میزان غلظت م迪کارپین و فعالیت آنزیم PAL در مرحله رویشی در ریشه مشاهده شد.

واژه‌های کلیدی: م迪کارپین، تکوین، یونجه، آنزیم PAL

* نویسنده مسئول، تلفن: ۰۲۱۸۲۸۴۴۴۰، پست الکترونیکی: zarinkamar@modares.ac.ir

مقدمه

گیاه و بعد در اندام هوایی تجمع می‌یابد (۱۵). یکی از مهمترین این ترکیبات در گیاه یونجه ایزوافلاونوئید م迪کارپین است که به فرم گلیکوزیده در واکوئل مرکزی سلول انباسته می‌شود که اغلب به عنوان یک فیتوآلکسین شناخته می‌شود (۷، ۶). این ایزوافلاونوئید باعث فعال شدن ژنهای ریزوبیومی دخیل در فرایند تشکیل گرهگ می‌شود (۱۵). امروزه توجه زیادی به این فیتوآلکسین در سلامتی انسان می‌باشد. همچنین رژیم غذایی غنی از این ترکیبات با کاهش ابتلا به سرطان، پوکی استخوان، بیماریهای قلبی عروقی و بیماریهای مغزی همراه می‌باشد (۶). یونجه گیاهی است پایا و علوفه‌ای که ارتفاع بوته در این گونه از ۶۰ تا ۱۰۰ سانتیمتر متغیر و نسبت به گرما و سرما مقاومت خوبی دارد. برگهای اصلی این گیاه به صورت سه برگچه‌ای می‌باشد. برگچه‌ها بیضوی با حاشیه

گیاهان خانواده باقلاییان، منبع غنی از فلافونوئیدها هستند، اغلب فلافونوئیدهای خانواده باقلاییان ، ترکیبات فیتوآلکسینی هستند که دارای ساختمان ایزوافلاونوئید می- باشند (۱۴). فنیل آلانین آمونیالیاز (PAL) اولین آنزیم کلیدی، مهم و تعیین‌کننده در ابتدای مسیر تولید فنیل پروپانوئید می‌باشد. سوبسترای این آنزیم L-فنیل آلانین اکسیداتیو از آمینو اسید L-فنیل آلانین و تبدیل آنها به یون آمونیوم و ترانس سینامیک اسید می‌باشد (۵). این ترکیب به عنوان اولین و مهمترین آنزیم در مسیر تولید ایزوافلاونوئید م迪کارپین شناخته شده است (۱۴). یونجه از خانواده باقلاییان دارای ترکیبات متعدد فلافونوئیدی در ریشه و برگهای خود می‌باشد. این ترکیبات معمولاً به فرم‌های گلیکوزیده و مالونیل گلیکوزیده، ابتدا در ریشه‌های

نمونه‌ها برای آنالیز آناتومی در فیکساتور مناسب (الکل ۳۰ درصد) قرار گرفتند. تعدادی دیگر از نمونه‌ها برای انجام مطالعات بیوشیمیایی در آون به مدت ۴۸ ساعت خشک شدند.

مطالعات ساختار تشریحی یونجه: نمونه‌های گیاهی مورد نظر از بخش‌های رویشی شامل ریشه، ساقه و برگ از سه مرحله تکوین انتخاب شدند. برای بررسی بخش‌های رویشی نمونه‌ها در فیکساتور مناسب (مخلوط الکل-آب با نسبت ۱ به ۲) نگهداری شدند و پس از عبور برش‌ها از آب ژاول و استیک اسید و شستشو با آب مقطر، رنگ آمیزی مضاعف (سبز متیل-کارمن زاجی) انجام شد و برشها با میکروسکوپ نوری مدل Olympus مدل BH2 ساخت کشور ژاپن مورد بررسی و عکسبرداری قرار گرفتند.

سنجهش فعالیت آنزیم فنیل آلانین آمونیالیاز: سنجهش فعالیت آنزیم فنیل آلانین آمونیالیاز با استفاده از سینامیک اسید تولید شده با روش wang و همکاران در سال ۲۰۰۶ انجام شد. ۰/۱ گرم از بافت‌های خشک اندام هوایی، رویشی و گل به طور جداگانه در بافر پتانسیم فسفات ۰/۱ مولار با pH=۸ روی یخ ساییده شده و بعد در ۲۰۰۰۰g به مدت ۲۰ دقیقه در دمای ۴-۲ درجه سانتی‌گراد سانتریفیوز شد. محلول رویی برای سنجهش فعالیت آنزیمی استفاده گردید. به هر لوله آزمایش مقدار ۲۰۰ میکرولیتر بافر پتانسیم فسفات ریخته و بعد ۶۵۰ میکرولیتر فنیل آلانین ۴ میلی مولار به آن اضافه گردید. نمونه‌ها به مدت ۱ ساعت در حمام آب گرم با دمای ۳۷ درجه سانتی‌گراد قرار داده شدند. پس از خارج نمودن نمونه‌ها از حمام آب گرم به هر نمونه ۵۰ میکرولیتر کلریدریک اسید ۵ میلی مولار افزوده و تکان داده شد. سپس با ۵ میلی‌لیتر اتیل استات، سه بار نمونه‌ها شستشو داده شدند. سپس نمونه‌ها در معرض هوا قرار داده شدند. به نمونه‌های خشک شده، NaOH یک مولار اضافه کرده و بعد جذب در طول موج ۲۹۰ نانومتر اندازه‌گیری شد (۱۲، ۱۳).

مضرس و کرک‌دار بوده است. این گیاه دارای ۲ نوع ریشه می‌باشد: ریشه‌های راست که در شرایط بافت مناسب خاک تا عمق ۷ متر می‌تواند در خاک نفوذ کند و ریشه‌های جانبی که وظیفه استحکام گیاه در خاک و جذب آب و املاح را بر عهده دارند و گره‌گهای تشیت کننده ازت بر روی این ریشه‌ها تشکیل می‌شوند (۱۰). گلهای آن به رنگ ارغوانی و بنفس تیره می‌باشد و آرایش گل به صورت خوشه مركب با دم‌گلهای بسیار طویل که در آن ۵ تا ۵۰ گل ممکن است وجود داشته باشد. بیش از ۹۰ درصد یونجه زراعی در ایران مربوط به این گونه می‌باشد (۴ و ۲). این گونه، از گیاهان دارویی قدیم و مهم بوده و به دلیل خاصیت ضد التهاب، ضد میکروبی، ضد اسپاسم، تقویت کننده معده و بدن، کاهش قند خون و کلسترول و ضد تب مورد توجه می‌باشد (۵). هدف از این پژوهش بررسی فعالیت آنزیم فنیل آلانین آمونیالیاز و سنجهش غلظت مديکارپین در ریشه، اندام هوایی و گل در مراحل مختلف رشد می‌باشد. از بین مراحل نمو، سه مرحله جوانهزنی، ساقمه‌دهی و گلدھی مورد توجه قرار گرفت. با توجه به بررسی‌های انجام شده اطلاعات کافی و دقیقی در مورد ساختار تشریحی - تکوینی گیاه یونجه در دسترس نمی‌باشد. لذا بررسی ساختار تشریحی - تکوین اندامهای رویشی این گیاه با روشهای سلول - بافت شناسی از اهداف این پژوهش هستند.

مواد و روشها

بذر یونجه از مؤسسه بذر و نهال کرج تهیه شد، نوع رقم یونجه همدانی در این پژوهش مورد استفاده قرار گرفت.

برداشت نمونه‌های گیاهی: نمونه‌های گیاهی در ۳ مرحله تکوینی برداشت شدند. اولین برداشت در مرحله جوانه زنی (۳ روز) و برداشت دوم در مرحله رویشی (۲۰ روز) و برداشت سوم در مرحله گلدھی (۵ ماه بعد از کاشت بذرها) انجام شد. بعد از خارج کردن نمونه‌ها از خاک اندام هوایی از محل یقه از ریشه‌ها جدا شد. تعدادی از

نتایج

مطالعه ساختار تشریحی یونجه:

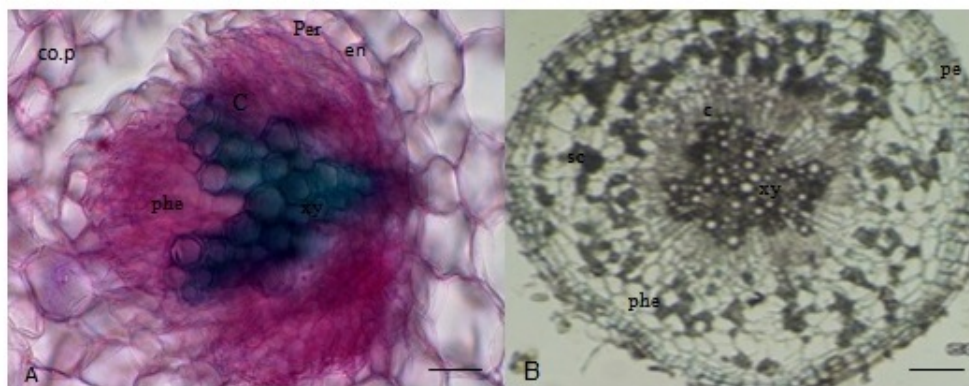
ریشه: در ساختار نخستین ریشه در خارجی ترین لایه پوست اپیدرم دیده می‌شود که محل تشکیل تارهای کشنده در ریشه است. درونی ترین لایه پوست آندودرم است و به خوبی مرز بین پوست و استوانه آوندی را مشخص می‌کند. در استوانه آوندی خارجی ترین لایه دایره محیطی است که از یک لایه سلول پارانشیمی تشکیل شده است. دسته‌های چوب-آبکش به صورت متناوب قرار گرفته‌اند. در این منطقه، قطب مولد چوب خارجی است، بنابراین تشکیل چوب بروز زا است. تمایز آبکش رو به مرکز است و پروتونفلوئم (آبکش زودرس) به دایره محیطی و متافلوزم (آبکش دیررس) به محور ریشه نزدیکتر است. با رفتن ریشه به ساختار پسین لایه کامبیوم که در حد فاصل آوند چوب و آبکش قرار دارد به سمت خارج آبکش پسین و به سمت داخل چوب پسین را می‌سازد (۱۱، ۱۱) (شکل ۱).

سنجهش پروتئین: به ۱۰۰ میلی‌لیتر از عصاره سانتریفیوژ شده یک میلی‌لیتر معرف برادفورد اضافه و بعد جذب آن در طول موج ۵۹۵ نانومتر اندازه‌گیری شد. سنجهش پروتئین با روش برادفورد و همکاران در سال ۱۹۷۶ انجام شد (۹).

سنجهش مدیکارپین در عصاره‌های گیاهی: بهمنظور عصاره‌گیری این ترکیبات با کمی تغییر از روش Ksouri و همکاران (۲۰۰۷) استفاده شد و محتوای مدیکارپین عصاره‌ها با استفاده از کروماتوگرافی مایع با کارابی بالا (HPLC) تعیین شد.

تحلیل HPLC: از دستگاه HPLC مدل knauer و ستون C18 فاز معکوس Lichrosorb به ابعاد (۴×۲۵۰ mm) برای سنجش مدیکارپین استفاده شد. فاز متحرک شامل استونیتریل و اسید فسفریک و سرعت جریان ۱ میلی‌لیتر در دقیقه و مدت کروماتوگرافی ۶۰ دقیقه بود. طیف‌ها در طول موج ۲۸۳ نانومتر ثبت شدند و مساحت سطح هریک از پیکها محاسبه و منحنی استاندارد مدیکارپین رسم شد.

مطالعات آماری: آنالیز داده‌ها با استفاده از نرم افزار MSTATC و مقایسه میانگین‌ها با استفاده از آزمون دانکن در سطح احتمال ۱ درصد انجام شد.



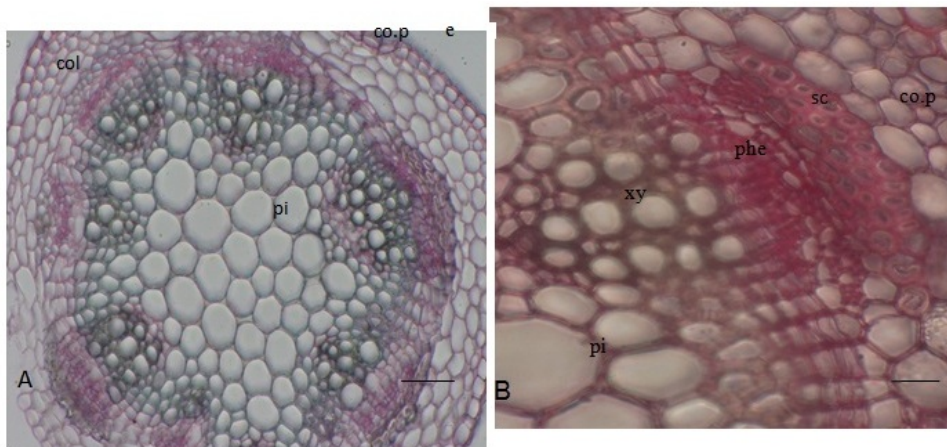
شکل ۱-برش عرضی از ریشه. شکل (A)-ساختار نخستین ریشه: بافت آبکش (phe)، بافت چوب (xy)، پارانشیم پوست (co.p). آندودرم (en)، دایره محیطی (per). شکل (B)-ساختار پسین ریشه: پریدرم (pe)، بافت آبکش (pe)، بافت چوب (xy)، اسکلرنشیم (sc)، کامبیوم (c). ۶µm، .60µm

آبکش می‌شود. در قسمت مرکزی هم سلول‌های پارانشیمی مغز دیده می‌شود (۲، ۱).

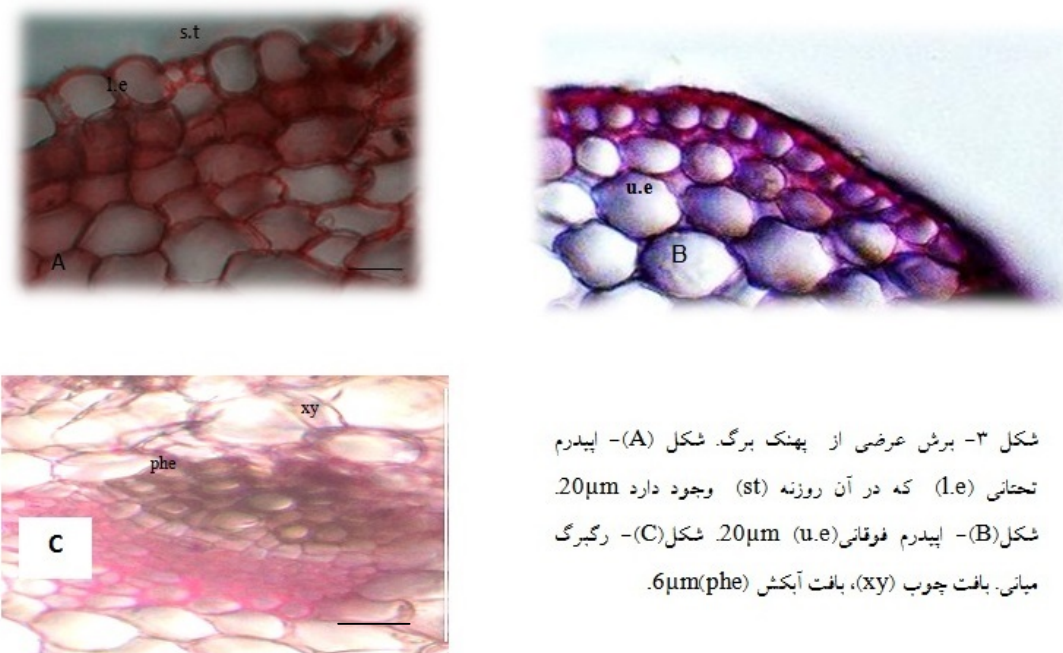
برگ: سلول‌های اپیدرمی دارای دیواره ضخیم و چهار وجهی هستند. سلول‌های اپیدرم تحتانی نامنظم‌تر از اپیدرم فوقانی دیده می‌شوند. کوتیکول سطح فوقانی ضخیم‌تر از سطح تحتانی می‌باشد. روزنه در هر دو سطح تحتانی و فوقانی همسطح سلول اپیدرم می‌باشد. بافت پارانشیم مزوفیل شامل دو ردیف پارانشیم نزدیکی و یک ردیف پارانشیم اسفنجی است (dorsiventral). آوند مرکزی یک طرفه (collateral) است که آوند چوب بالا و آبکش پائین قراردارد (شکل ۳).

گرهگ: براساس نتایج حاصل از اندازه‌گیری‌های سلولی قسمت‌های مختلف گرهگ در دو مرحله ساقه و گله می‌مشخص شد (شکل ۴). با افزایش رشد گیاه، قطر گله می‌ مشخص شد (شکل ۴). با افزایش رشد گیاه، قطر گرهک و بافت باکتروئید افزایش می‌یابد. اما در مرحله گله می‌ کاهش معنی‌داری در قطر گرهگ و بافت باکتروئید مشاهده شد. همچنین مشخص شد که با افزایش غلظت مديکارپین، قطر گرهگ و تعداد گرهگ‌ها در ریشه نیز افزایش یافته بود. به طوری که بیشترین غلظت مديکارپین و قطر گرهگ در مرحله رویشی مشاهده شد (جدول ۱، شکل ۲).

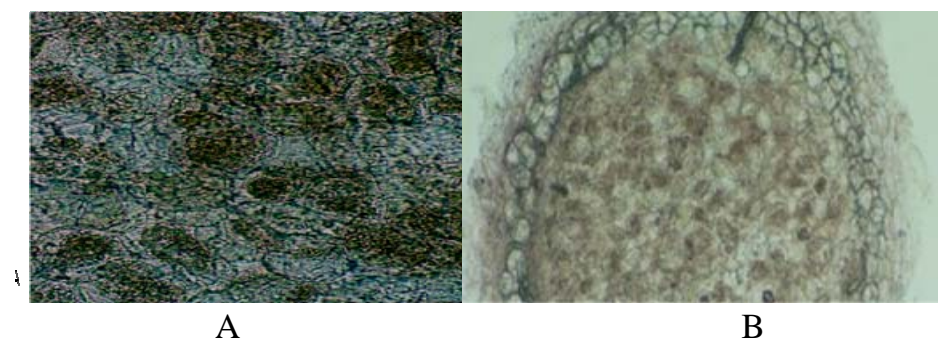
ساقه: در برش عرضی ساقه در ساختار پسین در خارجی ترین لایه سلول‌های اپیدرم حالت مکعبی دارند که مشابه بسیاری از دولپه‌هاست. در زیر اپیدرم دولایه سلول پارانشیمی و پس از آن سلول‌های بافت کلانشیم که سلول‌هایی با دیواره‌های ضخیم هستند و بافت مقاوم را تشکیل می‌دهند دیده می‌شود. بافت کلانشیم در این گیاه از نوع کلانشیم گوشهدار است. لایه بعدی سلول‌های پارانشیم پوست، در چند ردیف با دیواره نازک و قطر کم و بیش یکسان و چند وجهی هستند. در زیر پارانشیم لایه فیبر اسکرانشیم در داخلی ترین لایه پوست و حاشیه استوانه مرکزی، با سلول‌های دارای دیواره ضخیم چوبی وجود دارد که عمل اصلی آن استحکام بخشیدن و محافظت از گیاه است. در استوانه مرکزی دسته‌های آوندی و مغز دیده می‌شود. کامبیوم معمولاً دو نوع سلول دارد: سلول بنیادی دوکی‌شکل که عناصر چوب و آبکش از آن به وجود می‌آیند و سلول بنیادی اشعه که اشعه آوندی را می‌سازد. استوانه کامبیومی بین چوب و آبکش اولیه نمو می‌یابد و چوب ثانویه را به صورت رو به مرکز و آبکش ثانویه را به صورت گریز از مرکز می‌سازد. متاگریلم با اندازه بزرگتر و در سمت آوند آبکش و پروتوگریلم با اندازه کوچکتر در سمت مغز دیده می‌شوند. اشعه آوندی نسبتاً ضخیم است و سبب قطع شدن حلقه‌های چوب و



شکل ۲- برش عرضی از ساقه. شکل (A)- اپیدرم (e)، پارانشیم پوست (co. p)، پارانشیم مغز (pi)، کلانشیم (col) ۰.۲۰۰ μm. شکل (B)- اسکلرانشیم (sc)، پارانشیم پوست (co.p)، بافت آبکش (phe)، بافت چوب (xy)، پارانشیم مغز (pi) ۰.۶ μm.



شکل ۳- برش عرضی از پهنه برگ. شکل (A)- اپیدرم تحتانی (l.e) که در آن روزنه (st) وجود دارد ۲۰ μm . شکل (B)- اپیدرم فوقانی (u.e) ۲۰ μm . شکل (C)- رگبرگ میانی. بافت چوب (xy)، بافت آبکش (phe).



شکل ۴- برش عرضی از گرگهک: (A) بافت باکتروئید؛ B، سیمای عمومی

جدول ۱- مقایسه میانگین صفات آناتومیکی حاصل از برش عرضی

گرگهک در ریشه در سه مرحله تکوین

تعداد گرگهگ	قطر گرگهگ (μm)	بافت باکتروئید (μm)	بافت
			مراحل تکوین
-	-	-	جوانه رنی
۱۲۰	۱۹۶/۲۲a	۱۳۰/۲۷c	ساقدهی
۱۰۵	۱۷۶/۹۲b	۱۱۲/۶۴d	گلدنهی

بحث

آنالیز میدیکارپین نشان داد که نوع بافت و مرحله نمو گیاه نیز می‌تواند تولید میدیکارپین را تحت تأثیر قرار دهد.

سنجهش میدیکارپین و اندازه‌گیری میزان فعالیت PAL در مراحل مختلف تکوین: بررسی میزان فعالیت آنزیم PAL با استفاده از دستگاه HPLC در مراحل مختلف تکوین نشان داد از مرحله جوانهزنی تا مرحله گلدنهی میزان فعالیت آنزیم PAL در ریشه و اندام هوایی به ترتیب $(0.31 \mu\text{mol CA mg}^{-1} \text{pr}^{-1})$ افزایش می‌یابد. به طوری که بیشترین میزان فعالیت آنزیم PAL زمانی در گیاه مشاهده می‌شود که گیاه در مرحله رویشی قرار دارد. بنابراین می‌توان گفت سن گیاه بر میزان فعالیت آنزیم تأثیر گذاشته است (جدول ۲).

احتمالی افزایش غلظت میدیکارپین در ریشه می‌تواند به دلیل افزایش فعالیت آنزیم PAL در ریشه باشد. به طوری که بیشترین غلظت میدیکارپین در ریشه در مرحله ساقه‌دهی وجود دارد ($7.1 \text{ nmol g}^{-1} \text{ FW}$).

به طوری که از مرحله جوانه‌زنی تا مرحله رویشی میزان میدیکارپین در گیاه رو به افزایش بوده، این افزایش از نظر آماری معنی دار بود (جدول ۲). اما در مرحله زایشی غلظت میدیکارپین در گیاه کاهش یافته است. مکانیسم

جدول ۲- سنجش میدیکارپین و اندازه گیری فعالیت آنزیم PAL در سه مرحله نمو

غلظت میدیکارپین $\text{nmol gr}^{-1} \text{ FW}$	فعالیت آنزیم $\mu\text{mol CA mg}^{-1} \text{ pr}^{-1}$	ریشه
$2.1 \pm 0.3^{\text{c}}$	$0.9 \pm 0.4^{\text{d}}$	مرحله جوانه‌زنی
$7.1 \pm 4.0^{\text{a}}$	$0.31 \pm 0.04^{\text{a}}$	مرحله ساقه‌دهی
$2.2 \pm 2.0^{\text{b}}$	$0.18 \pm 0.01^{\text{c}}$	مرحله گلدهی
اندام هوایی		
$0.1 \pm 0^{\text{e}}$	$0.40 \pm 0.09^{\text{d}}$	مرحله جوانه‌زنی
$1.0 \pm 0.3^{\text{d}}$	$0.22 \pm 0.01^{\text{b}}$	مرحله ساقه‌دهی
$0.8 \pm 0^{\text{e}}$	$0.22 \pm 0.01^{\text{c}}$	مرحله گلدهی
گل		
$0.1 \pm 0^{\text{e}}$	$0.66 \pm 0.03^{\text{d}}$	گل

حروف متقاوت در هر ستون نشان دهنده اختلاف معنی دار می‌باشد ($P < 0.01$).

منجر به افزایش بیوستزر ایزووفلاونوئید میدیکارپین شده باشد. نتایج حاصل از سنجش میدیکارپین با نتایج Tsiri و همکاران در سال ۲۰۰۹ مطابقت دارد (۱۶ و ۱۷). نتایج این مطالعه به خوبی نشان داد که میزان فعالیت آنزیم PAL، با تجمع میدیکارپین و سن گیاه رابطه مستقیم دارد. بنابراین به احتمالی می‌توان گفت که آنزیم PAL در تنظیم مقدار میدیکارپین نقش داشته است.

Dakora و همکاران در سال ۱۹۹۳ اظهار داشتند که میدیکارپین در فعال شدن رژنهای ریزوپیومی دخیل در تشکیل گرهگ نقش دارد. به طوری که افزایش این فیتوآلکسین در افزایش نفوذ باکتری به گرهگ، قطر گرهگ و عملکرد گیاه تأثیر بسزایی دارد (۱۰).

آنزیم PAL اولین آنزیم در مسیر متابولیسمی میدیکارپین می‌باشد، به طوری که افزایش فعالیت مذکور ممکن است

منابع

- رضائی، عبدالمجید. ۱۳۷۲، به نژادی یونجه. انتشارات مرکز نشردانشگاهی تهران. چاپ اول. ۲۳۳ ص.
- فان. آ. ترجمه آذرنوش جعفری. ۱۳۸۷، آناتومی گیاهی، انتشارات جهاد دانشگاهی مشهد.
- کریمی، هادی. ۱۳۶۹، یونجه. مرکز نشر دانشگاهی تهران. ۳۷۱ ص.
- صالحی سورمهقی، محمد حسین. ۱۳۹۰، گیاهان داروئی و گیاه درمانی. انتشارات دانشگاه تهران.
- قلیچ سیما ، زرین کمر فاطمه ، نیکنام وحید. ۱۳۹۴، بررسی میزان ابناشتگی سرب و تأثیر آن بر فعالیت آنزیم پراکسیداز، محتوای ترکیبات فنولی و فلاونوئیدی در مرحله جوانه‌زنی در گیاه یونجه،

مجله پژوهش‌های گیاهی (مجله زیست‌شناسی ایران) ۱۷۴:۲۸(۱) - ۱۶۴.

- ۶- آبوغیش نسا، زرین کمر فاطمه. ۱۳۹۳، بررسی تغییرات ساختاری در اندامهای زایشی باونه آلمانی ناشی از تنفس سرب . مجله پژوهش‌های گیاهی (مجله زیست‌شناسی ایران) ۱۷(۲):۳۴۵-۳۳۶.
- 7- Akoi, T., Akashi, T., Ayabe, Sh; 2000. Flavonoid of Leguminous Plant: Structure, biological activity and biosynthesis. Journal of Plant Research. 113:475-488.
- 8- Boonyuen, C., Wangkarn, S., Suntornwat, O., Chaisuksant, R; 2009. Capacity and phenolic content of *mimusops elengi* fruit extract. Kasetsart Journal of Natural Sciences. 43:21-27.
- 9-Bradford, M.M. (1976). A rapid and sensitive method for the quantitation of microgram quantities of protein dye binding. Analytical Biochemistry.72: 248-254.
- 10-Dakora, F.D., Joseph, C.M., Phillips, D.A; 1993. Alfalfa (*Medicago sativa* L.) root exudates contain isoflvonoid in the presence of Rhizobium Melilotus. Plant Physiology. 101:819-824.
- 11-Hakl, J., Fuksa, P., Maskova, k; Basu P.S; 2011. The development of lucern root morphology traits under high initial stand density within a seven year period. Plant Soil Environ. 57: 81-87.
- 12-Ksouri, R; Mediche, W; Dabekz, A; Falkeh, M; Grignon and Abdelly, C; 2007. Salinity effect on polyphenol content and antioxidant activities in leaves of the halophyte *cakile maritime*. Plant Physiology and Biochemistry. 45:244-248.
- 13- Markovic, J., Radovic, J., Lugic, Z., Sokolovic D; 2007. The effect of development stage on chemical composition of alfalfa leaf and steam. Biotechnology in Animal Husbandry. 23: 383-388.
- 14- Marinova, D., Ribarava, F., Atanassava, M; 2005. Total phenolic and total flavonoid in Bulgarian fruits and vegetables. J. Univ. chemistry Technology Metal. 40:225-260.
- 15- Matsouka, I., Beri, D., Chinou, I., Haralampidis, K., Spyropoulos, C; 2011. Metals and selenium induce medicarpin accumulation and excretion from the roots of fenugreek seedling: a potential detoxification mechanism. Plant soil, Published online.
- 16-Tsiri, D., Chinou I., Haralampidis, K., Spyropoulos, C; 2009. The origin of copper induced medicarpin accumulation and its secretion from roots of young fenugreek seedling are regulated copper concentration. Plant Science, 176: 376-374.
- 17- Wang; 2006.PALgene expression and activity. Advanced studies in Biology, 5:9, 403-412.

Anatomy of *Medicago sativa* and quantity medicarpin in different stages of development

Zarinkamar F and Asadi N.

Plant Biology Dept., Faculty of Biological Sciences, Tarbiat Modares University, Tehran, I.R. of Iran

Abstract

Medicago sativa is from Fabaceae family that has several flavonoid compound in roots and shoots. Medicarpin is a dominant isoflvonoid that induces nod gene. In this study, PAL (phenyl alanine amonialyase) activity was assayed using spectrophotometer. In this research the concentration of medicarpin by HPLC (high performance liquid chromatography) were studied in different stages of development also anatomical structure of alfalfa were studied in different stages of development by optic microscope. The results indicated that activity of PAL enzyme are altered during the plant development. Changes of medicarpin content were correlated to the activity PAL enzyme. The highest level of the concentration of medicarpin and activity PAL enzyme were achieved budding stage of growth in root.

Key words: *Medicago sativa* L, Medicarpin, PAL enzyme, Stages of development